# 离子交换法制备铂(II)和钯(II)的硝酸四氨络合物及结构表征

赵 群<sup>1</sup>, 楼云江<sup>2</sup>, 余 娟<sup>2</sup>, 郑 萍<sup>1</sup>, 叶青松<sup>2</sup>, 谢笑天<sup>1\*</sup>, 刘伟平<sup>2</sup> (1. 云南师范大学 化学化工学院, 昆明 650031;

2. 昆明贵金属研究所 稀贵金属综合利用新技术国家重点实验室, 昆明 650106)

摘 要:采用一种全新的方法—离子交换法,以二氯四氨合铂(II)和二氯四氨合钯(II)为原料,水为溶剂,制备铂、钯的重要催化前驱体化合物—硝酸四氨合铂(II)和硝酸四氨合钯(II)。通过元素分析、红外光谱、质谱、核磁共振表征其化学结构。方法的产率>90%,产品纯度>99.0%(以金属铂、钯计),适合于批量生产要求。

关键词: 无机化学; 离子交换技术; 硝酸四氨合铂(II); 硝酸四氨合钯(II); 合成; 结构中图分类号: O614.82<sup>+</sup>3, O614.82<sup>+</sup>6 文献标识码: A 文章编号: 1004-0676(2014)04-0013-06

# Preparation of [Pt(NH<sub>3</sub>)<sub>4</sub>](NO<sub>3</sub>)<sub>2</sub> and [Pd(NH<sub>3</sub>)<sub>4</sub>](NO<sub>3</sub>)<sub>2</sub> by Ion Exchange Technique and Determination of Their Chemical Structures

ZHAO Qun<sup>1</sup>, LOU Yunjiang<sup>2</sup>, YU Juan<sup>2</sup>, ZHENG Ping<sup>1</sup>, YE Qingsong<sup>2</sup>, XIE Xiaotian<sup>1</sup>\*, LIU Weiping<sup>1</sup> (1. College of Chemistry and Chemical Engineering, Yunnan Normal University, Kunming 650031, China;

 State key Laboratory of Advanced Technologies for Comprehensive Utilization of Platinum Metals, Kunming Institute of Precious Metals, Kunming 650106, China)

**Abstract:** [Pt(NH<sub>3</sub>)<sub>4</sub>](NO<sub>3</sub>)<sub>2</sub> and [Pd(NH<sub>3</sub>)<sub>4</sub>](NO<sub>3</sub>)<sub>2</sub> are two important precursors for platinum- and palladium-based heterogeneous catalysts, as well as intermediates for other platinum and palladium compounds. An ion exchange technique was employed to synthesize [M(NH<sub>3</sub>)<sub>4</sub>](NO<sub>3</sub>)<sub>2</sub> (M=Pt or Pd) with a yield of more than 90% from [M(NH<sub>3</sub>)<sub>4</sub>]Cl<sub>2</sub> as the starting materials. Their chemical structures were characterized by elemental analysis, MS, IR and NMR. This synthetic method is very effective and cost-saving and can be employed in industrial production.

**Key words:** inorganic chemistry; ion exchange technique;  $[Pt(NH_3)_4](NO_3)_2$ ;  $[Pd(NH_3)_4](NO_3)_2$ ; synthesis; structure

离子交换技术在十八世纪为汤普森所发现<sup>[1-2]</sup>,发展至今已成为一项非常成熟的技术,具有操作方便、分离效率高、消耗能源少、成本较低廉等突出优点<sup>[3]</sup>,广泛的应用于冶金、化工和生物工程等领域。特别是贵金属冶金方面,离子交换技术已成为贵贱金属分离和铑铱分离的重要手段<sup>[4-7]</sup>,但是离子交换技术用于铂族金属化合物的制备的报道不多。硝酸四氨合铂(II)和硝酸四氨合钯(II)是 2 种重要的

铂族金属化合物,主要用作催化前驱体制备铂、钯载体催化剂,也用作制备其他铂、钯化合物的中间体<sup>[8-10]</sup>。目前均采用常规的化学方法合成<sup>[11]</sup>,即通过二氯四氨合铂或钯与硝酸银定量反应一步合成。该方法涉及使用价格较高的硝酸银,同时产品中会残留一定量的银。

本文报道一种用离子交换技术制备这 2 种化合物的方法和条件,并采用元素分析、红外光谱(IR)、

收稿日期: 2014-03-14

基金项目:云南省科技厅重点新产品开发项目(2013BD012)。

第一作者: 赵 群, 男, 硕士研究生, 助教, 研究方向: 贵金属化合物的研究开发。E-mail: 605593097@qq.com

<sup>\*</sup>通讯作者:谢笑天,男,教授,研究方向:有机化学教学及科研。E-mail: xt6207@qq.com

质谱(MS)、核磁共振谱(<sup>1</sup>H-NMR)对所得化合物进行了结构表征。

# 1 实验部分

# 1.1 实验材料及仪器

201×7 (717)强碱型阴离子交换树脂, 江苏金凯树脂化工有限公司; 0.025 mol/L 的二氯四氨合铂(II)和二氯四氨合钯(II)溶液, 昆明贵金属研究所; 其余试剂均为分析纯。

AB304-S 电子天平,德国赛多利斯公司; D2G-6050 型恒温真空干燥箱,上海森信实验仪器有限公司; N-1000 旋转蒸发仪,日本东京理化仪器公司; SB-1000 数字型水浴锅,日本东京理化仪器公司; Bruker DRX500 核磁共振仪; FTS-135 型红外光谱仪; ATI-QSTAR 质谱仪; 玻璃层析柱(自制)。

# 1.2 树脂的预处理和转型

取适量的树脂于 500 mL 烧杯中,用去离子水冲洗 3 次,再加入 4 倍量的去离子水浸泡 18~20 h,后用去离子水冲洗至澄清。向已充分溶胀的树脂加入 4 倍量的 1 mol/L HCl 溶液,浸泡 8 h 后倒出酸液,用去离子水洗至中性;再加入 4 倍量 4% NaOH 溶液浸泡 8 h 后倒出碱液,再用去离子水冲洗至出水呈中性,如此反复 2 次,得到中性的 OH 型树脂,抽滤至干后待用。

# 1.3 实验方法

- (1) 静态交换吸附:将一定量处理后的树脂与0.025 mol/L 的二氯四氨合铂溶液混合置于具塞三角瓶中,恒温匀速搅拌,间隔一定时间用 0.025 mol/L 的盐酸标液滴定法测定溶液中 OH 浓度,直至平衡。
- (2) 动态交换吸附:取一定量处理后的树脂装入玻璃层析柱中,0.025 mol/L 二氯四氨合铂溶液以一定的流速过柱,间隔一定时用 0.025 mol/L 的盐酸标液滴定法测定溶液中 OH 浓度,直至平衡。

#### 1.4 配合物的合成

称取 1.67 g (5 mmol) [Pt(NH<sub>3</sub>)<sub>4</sub>]Cl<sub>2</sub>加入 200 mL 水中制成稀溶液。在室温条件下依动态法将溶液加入到铂离子交换柱中,确保树脂的上液面高度始终在 2 cm 左右,控制为流速 2 mL/min,收集并检验流出液呈碱性且无 Cl 存在,交换结束后再续接 30 mL 流出液,即得无色的[Pt(NH<sub>3</sub>)<sub>4</sub>](OH)<sub>2</sub> 溶液。立即向溶液中缓慢滴加稀硝酸溶液,边滴加边搅拌调

节至 pH≈7,即得硝酸四氨合铂溶液(II)。溶液在 45~50℃下减压浓缩至少量时,加 1 mL 浓氨水,用无水乙醇反析,过滤分离,45℃下真空干燥,得到白色固体硝酸四氨合铂(II)产品 1.80 g,产率为 93.0%。

按照以上步骤合成硝酸四氨合钯(II),产率为90.6%。

# 1.5 分析表征实验方法

# 1.5.1 金属含量分析

- (1) 铂含量分析: 铂含量分析法是许多铂类配合物结构表征常用的方法之一,本实验采用中国药典测定顺铂中铂含量的方法<sup>[12]</sup>。通过将恒重过的化合物在 600~800℃灼烧,将其配合基团破坏挥发,得纯金属铂<sup>[13]</sup>。
- (2) 钯含量分析:取试样 1.50 g,精确至 0.001 g,试样用盐酸和硝酸溶解,用乙醚萃取分离有机物,加 EDTA 络合钯及其它金属离子,加乙酸-乙酸钠缓冲溶液,二甲酚橙作指示剂,在 pH≈5.8 用锌标准溶液滴定过量的 EDTA,加二甲基乙二醛肟析出与钯络合的 EDTA,用三氯甲烷萃取丁二酮肟-钯沉淀,以锌标准溶液测定钯量<sup>[14]</sup>。

# 1.5.2 红外光谱(IR)测定

以 KBr 压片, 采用 FTS-135 型红外光谱仪在 400~4000 cm<sup>-1</sup> 区间进行扫描测定。

#### 1.5.3 质谱(MS)测定

ESI<sup>+</sup>-MS 采用 ATI-QSTAR 质谱仪测定。

# 1.5.4 核磁共振(NMR)分析

采用 Bruker DRX500 核磁共振仪,以 DMSO 为溶剂,四甲基硅烷(TMS)为外标物,对样品进行 $^1$ H-NMR 分析。

# 2 结果与讨论

# 2.1 吸附平衡时间测定

树脂湿基交换容量的计算公式为:

$$Q_t = 200 \times 0.025 (V_1 - V_0) / MV \tag{1}$$

式中, $Q_t$ 为 t 时刻树脂的吸附容量,mmol/g;  $V_1$ 为 盐酸溶液的用量,mL;  $V_0$ 为空白试验盐酸溶液的用量,mL; V 为移取的交换溶液的体积,mL; M 为树脂的质量。

按静态吸附方法,将 10.00 g 离子交换树脂与 200 mL 二氯四氨合铂(0.025 mol/L)溶液,于 30 C下 匀速搅拌(150 r/min),测定不同时间的吸附率。实验结果如图 1 所示。

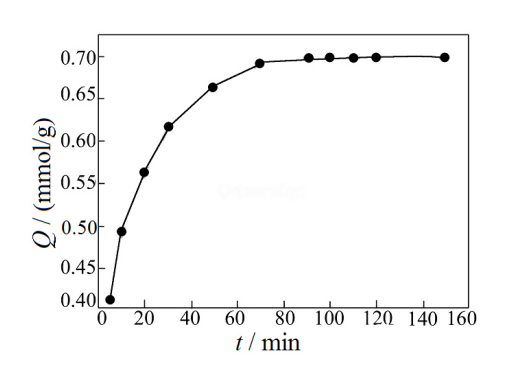


图 1 吸附时间对氯吸附率的影响

Fig.1 Curve of chloride adsorption rate vs adsorption time

图 1 表明,201×7(717)树脂对 Cl 的吸附速率很快,80 min 时,吸附率已达约 96.5%,再增加吸附时间,吸附率变化不大,吸附 100 min 时,已达到吸附平衡。

#### 2.2 温度对交换吸附的影响

准确称取 5.00 g 处理后的树脂 3 份分别置于具塞三角瓶中,各加入 200 mL 含氯浓度为 0.05 mol/L的二氯四氨合铂溶液,分别在温度为 25、30 和 40  $\mathbb{C}$  条件下匀速搅拌(150 r/min),并分别测定不同时间的吸附量。实验结果如图 2 所示。

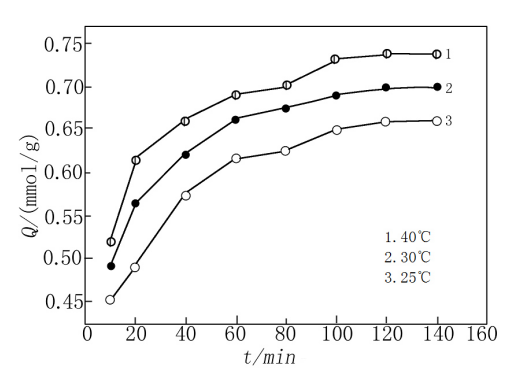


图 2 温度对氯吸附量的影响

Fig.2 Effect of temperature on the adsorption amount of chloride

由图 2 可见,随着温度的升高,201×7(717)树脂对氯离子的平衡吸附量也有明显的增加,可见温度升高有利于吸附的进行,初步推算该吸附过程是吸热过程。

# 2.3 树脂的饱和吸附容量和反应速率常数的测定

称取 5.00 g 717 型树脂,在 30℃条件下于 200 mL 含氯浓度为 0.05 mol/L 的二氯四氨合铂溶液中用静态法进行吸附实验。每隔一段时间用酸碱滴定法测定溶液中 OH 的含量,直至平衡,结果列于表

1。从表 1 可以看出:吸附 110 min 之后  $Q_t$ 不再增加,201×7(717)树脂的饱和吸附量接近 0.6982 mmol/g。

#### 表 1 吸附时间与树脂吸附量的关系

Tab.1 Relationship between adsorption time and the adsorption amount of resin

Time/min	5	10	20	30	50
$Q_t$ /(mmol/g)	0.4326	0.4913	0.5632	0.6152	0.6645
Time/min	80	90	110	150	
$Q_t$ /(mmol/g)	0.6962	0.6962	0.6982	0.6981	

根据 Boyd 的液膜扩散方程[15]:

$$-\ln(1-F) = kt \tag{2}$$

$$F = Q_t / Q_w \tag{3}$$

式中, $Q_w$ 是饱和吸附容量,mmol/g;  $Q_t$ 为 t 时刻的 吸附容量,mmol/g; k 为液膜扩散系数,即某温度 下的吸附速率常数, $min^{-1}$ ; t 为吸附时间,min。对 -ln(1-F)和时间 t 进行线性拟合,结果如图 3 所示。

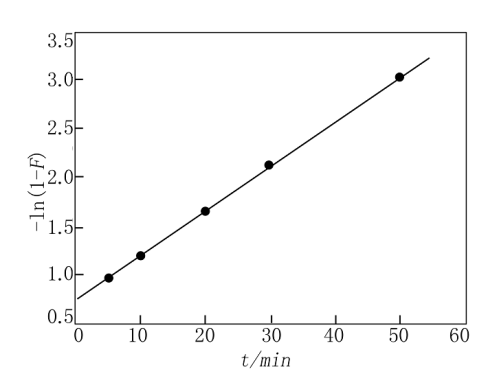


图 3 吸附速率常数测定

Fig.3 Determination of adsorption rate constants

由图 3 可见, $-\ln(1-F)$ 和 t 具有很好的线性关系,相关系数 R>0.99。Boyd 等<sup>[16]</sup>认为,若 $-\ln(1-F)$ 和时间呈线性关系,说明液膜扩散是吸附过程的主控步骤。由图 3 求出的直线斜率也即反应速率常数  $k=0.0458 \text{ min}^{-1}$ 。

#### 2.4 动态流速对交换吸附的影响

依照动态法,取含氯为 0.05 mol/L 的二氯四氨合铂溶液 200 mL,控制 2 mL/min 的流速通过装有处理好的树脂离子交换柱,收集过柱后的流出液,测定流出液中 OH 的浓度及吸附率,结果见图 4。由图 4 可知,随着溶液流速的提高,树脂对氯离子的吸附率明显下降。当过柱流速在 10 mL/min 以下时,氯离子的吸附率大于 90%,当流速在 3 mL/min

以下时,用硝酸银检验无氯离子存在。

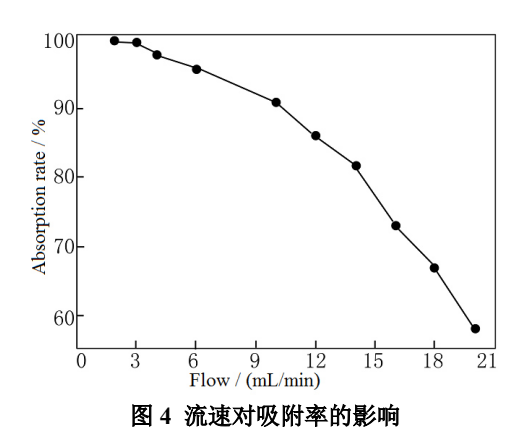


Fig.4 Curve of flow rate vs adsorption rate

#### 2.5 合成方法

起始原料[Pt(NH<sub>3</sub>)<sub>4</sub>]Cl<sub>2</sub> 和[Pd(NH<sub>3</sub>)<sub>4</sub>]Cl<sub>2</sub> 以及目标化合物在水中的溶解度都很大,且强碱性 OH 型阴离子交换树脂工作不受 pH 影响,离子的吸附选择性为 Cl<sup>-</sup>>OH<sup>-[17]</sup>。作者充分利用这些特性和吸附实验探索的条件,在室温条件下采用动态法将原料稀溶液加入相应的离子交换柱中,随着溶液在柱中的流动,树脂功能基团上的可交换离子 OH<sup>-</sup>就会与配合物的外界离子 Cl<sup>-</sup>进行交换。控制流速 3 mL/min,收集流出液用 pH 试纸检验呈碱性且无氯离子存在<sup>[18]</sup>,即得无色的[Pt(NH<sub>3</sub>)<sub>4</sub>](OH)<sub>2</sub> 溶液和[Pd(NH<sub>3</sub>)<sub>4</sub>](OH)<sub>2</sub> 溶液,反应式如下:

 $[Pt(NH_3)_4]Cl_2+Re-OH \rightarrow [Pt(NH_3)_4](OH)_2+Re-Cl$  (4)  $[Pd(NH_3)_4]Cl_2+Re-OH \rightarrow [Pd(NH_3)_4](OH)_2+Re-Cl$  (5)

得到的无色的[Pt(NH<sub>3</sub>)<sub>4</sub>](OH)<sub>2</sub> 溶液在光照下条件下或者长时间放置,会水解形成羟桥双核铂(II) 化合物<sup>[19-20]</sup>而显淡黄色,其结构式如下:

$$\begin{bmatrix} H_3N & Pt & O \\ H_3N & Pt & NH_3 \\ H_3N & H_3 \end{bmatrix}$$
 (6)

而无色[Pd(NH<sub>3</sub>)<sub>4</sub>](OH)<sub>2</sub> 溶液放置时间过长也容易丢失配体 NH<sub>3</sub>。应立即加入适量的稀硝酸,边滴加边搅拌调节至 pH $\approx$ 7 即得到硝酸四氨合铂(II)、钯(II)溶液,在 45 $\sim$ 50°C下减压浓缩至少量时加少许浓氨水,无水乙醇反析,过滤分离,45°C下真空干燥,即可得白色的固体产品。化学反应式为:

[Pt(NH<sub>3</sub>)<sub>4</sub>](OH)<sub>2</sub>+HNO<sub>3</sub>→[Pt(NH<sub>3</sub>)<sub>4</sub>](NO<sub>3</sub>)<sub>2</sub>+H<sub>2</sub>O (7) [Pd(NH<sub>3</sub>)<sub>4</sub>](OH)<sub>2</sub>+HNO<sub>3</sub>→[Pd(NH<sub>3</sub>)<sub>4</sub>](NO<sub>3</sub>)<sub>2</sub>+H<sub>2</sub>O (8) 采用动态法,依照以上步骤,使用较大的离子 交换柱或者多柱串联的方式,就能满足批量生产的 要求。

# 2.6 [Pt(NH<sub>3</sub>)<sub>4</sub>](NO<sub>3</sub>)<sub>2</sub> 的结构解析

#### 2.6.1 含量分析

金属铂含量测定值为 50.05%, 与理论计算值 50.4%很接近, 符合[Pt(NH<sub>3</sub>)<sub>4</sub>](NO<sub>3</sub>)<sub>2</sub> 的量式。

#### 2.6.2 红外光谱表征

图 5 为硝酸四氨合铂(II)的红外光谱图。

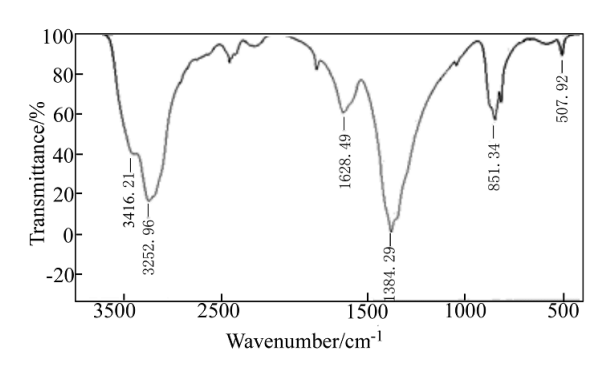


图 5 硝酸四氨合铂(II)的红外光谱图 Fig.5 IR spectrum of [Pt(NH<sub>3</sub>)<sub>4</sub>](NO<sub>3</sub>)<sub>2</sub>

图 5 中 3416.21 和 3252.96 cm<sup>-1</sup> 的强吸收峰归属于 N-H 的伸缩振动,较游离的  $V_{\text{NH}}/V_{\text{NH}}$ 发生了红移,表明氨与  $\text{Pt}^{2+}$ 发生了配位,而在 507.92 cm<sup>-1</sup> 出现的  $V_{\text{Pt-N}}$  弱吸收峰,进一步证实了  $\text{Pt}^{2+}$ 与  $\text{NH}_3$  配位。 1628.49 cm<sup>-1</sup> 处的强吸收峰可以归属为 N-H 的面内弯曲振动,在 1384.29 cm<sup>-1</sup> 处的强吸收峰是 N-H 的弯曲振动和  $\text{NO}_3$  的对称振动共同作用的结果。 851.39~818.44cm<sup>-1</sup>之间的吸收峰可以归属为  $\text{NH}_3$  的面内摇摆振动和  $\text{NO}_3$  的平面摇摆振动。

## 2.6.3 核磁共振氢谱(<sup>1</sup>H-NMR)表征

图 6 为硝酸四氨合铂(II)的 <sup>1</sup>H-NMR 图。

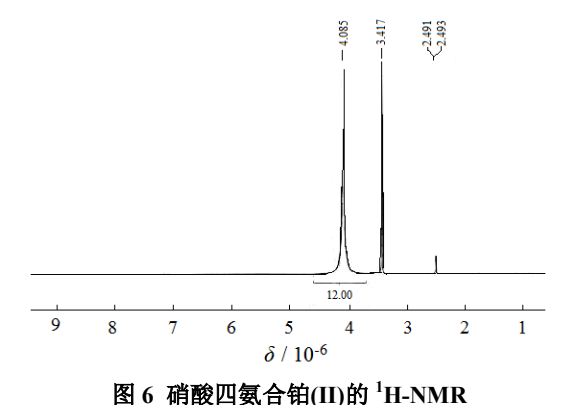


图 6 朝酸四氨青铜(II)的 H-NMR

Fig.6 <sup>1</sup>H-NMR spectrum of [Pt(NH<sub>3</sub>)<sub>4</sub>](NO<sub>3</sub>)<sub>2</sub> in DMSO

由图 6 可知,化学位移  $\delta$ =3.4×10<sup>-6</sup> 和 2.49×10<sup>-6</sup> 为溶剂 DMSO 的吸收峰(其中一个为水峰,一个为甲基峰), $\delta$ =4.08×10<sup>-6</sup>处的吸收峰积分面积为 12 可以归属为 4 个 NH<sub>3</sub>上的 12 个氢原子。

#### 2.6.4 质谱表征

图 7 为硝酸四氨合铂(II)的质谱图。从图 7 中可以看出 3 个显著的 m/e 峰,分别是 m/e=132、228、244,它们从属于[Pt(NH<sub>3</sub>)<sub>4</sub>]<sup>2+</sup>/2,{[Pt(NH<sub>3</sub>)<sub>4</sub>]-2NH<sub>3</sub>}<sup>+</sup>和{[Pt(NH<sub>3</sub>)<sub>4</sub>]-NH<sub>3</sub>}<sup>+</sup>。铂有 3 种同位素 <sup>194</sup>Pt (33%)、<sup>195</sup>Pt (34%)和 <sup>196</sup>Pt (25 %),所以质谱图展示出 3 个典型的质子化分子离子峰。

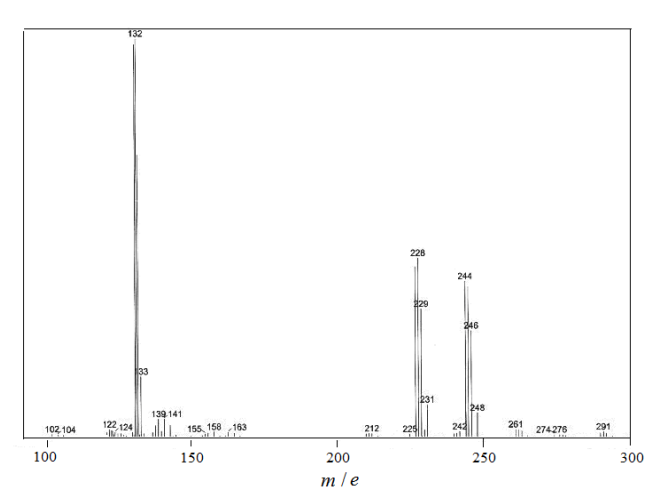


图 7 硝酸四氨合铂(II)的质谱图 Fig.7 ETS+-MS spectrum of [Pt(NH<sub>3</sub>)<sub>4</sub>](NO<sub>3</sub>)<sub>2</sub>

通过以上分析表征,可以确定所得化合物的结构式为:

$$\begin{bmatrix} H_3N & NH_3 \\ H_3N & NH_3 \end{bmatrix} (NO_3)_2 \qquad (9)$$

该化合物的内界由  $Pt^{2+}$ 与  $4 \land NH_3$  配位形成, 外界由  $2 \land NO_3$  组成。

# 2.7 [Pd(NH<sub>3</sub>)<sub>4</sub>](NO<sub>3</sub>)<sub>2</sub> 的结构解析

#### 2.7.1 含量分析

金属钯含量测定值为 35.13%, 与理论计算值 35.57%一致, 符合 $[Pd(NH_3)_4](NO_3)_2$  的量式。

#### 2.7.2 红外光谱表征

在硝酸四氨合钯(II)的红外光谱图中,3416.21 cm<sup>-1</sup> 的吸收峰和 3261.05 cm<sup>-1</sup> 的强峰归属于 N-H 的伸缩振动峰,较游离的  $V_{\rm NH}/V_{\rm NH}$ ,发生了红移,表明氨与  ${\rm Pd}^{2+}$ 发生了配位,在 490.46 cm<sup>-1</sup> 出现了  $V_{\rm Pd-N}$  弱吸收峰,进一步证实了  ${\rm Pd}^{2+}$ 与  ${\rm NH}_3$  配位。1629.93 cm<sup>-1</sup> 处的强吸收峰可以归属为 N-H 的面内弯曲振

动,在  $1384.12 \text{ cm}^{-1}$ 处的强吸收峰是 N-H 的弯曲振动和  $NO_3$ 的对称振动共同作用的结果。 $833.33 \text{ cm}^{-1}$ 附近的吸收峰可以归属为  $NH_3$ 的面内摇摆振动和  $NO_3$ 的平面摇摆振动。

#### 2.7.3 核磁共振氢谱表征

在核磁共振氢谱中,化学位移  $\delta$ =3.37×10<sup>-6</sup> 和  $\delta$ =2.49×10<sup>-6</sup> 为溶剂 DMSO 的吸收峰(其中一个为水峰,一个为甲基峰), $\delta$ =3.25×10<sup>-6</sup> 处的吸收峰积分面积为 12 可以归属为 4 个 NH<sub>3</sub>上的 12 个氢原子。

通过以上分析表征,可以确定所得化合物的结构式为:

$$\begin{bmatrix} H_3N & NH_3 \\ H_3N & NH_3 \end{bmatrix} (NO_3)_2$$
 (10)

该化合物的内界由  $Pd^{2+}$ 与  $4 \land NH_3$  配位形成,外界由  $2 \land NO_3$  组成。

#### 3 结论

- (1) 在静态实验中,717型树脂在30℃的条件下,交换达到平衡的时间为100 min,对氯离子的湿饱和吸附容量约为0.6982 mmol/g。在一定温度范围内升温有利于吸附的进行,交换在常温常压下就可以进行,交换过程中液膜扩散为主控步骤。
- (2) 在动态实验中,流速控制在 3 mL/min 以下时用硝酸银检验无氯离子的存在。
- (3) 采用 IR、MS、<sup>1</sup>H-NMR 等测试手段表征产物结构,结果表明所合成的化合物结构与标题化合物的结构一致。与其他合成方法相比,离子交换法具有操作简单,环境污染小,能源消耗少,成本低廉,可循环操作,产率可观等优点,适合工业生产的要求。

# 参考文献:

- [1] 王淼. 离子交换技术在盐化工中的应用[J]. 山东轻工 业学院学报: 自然科学版, 1995, 9(4): 1-4.
- [2] 夏笃祎. 离子交换树脂[M]. 北京: 化学工业出版社, 1983.
- [3] 高向阳,宋莲军,张平安,等.超声波处理快速测定离子交换树脂的交换容量[J].中国卫生检验杂志,2004,14(4):441-442.

Gao X, Song L, Zhang P, et al. Rapid determination of exchange capacity in ion exchange resin by ultrasonic test[J]. Chinese Journal of Health Laboratory Technology, 2004, 14(4): 441-442.

- [4] 李华昌, 符斌. 铂族元素分离中的萃淋树脂技术[J]. 贵金属, 2001, 22(4): 49-53.
  - Li H, Fu B. Separation of platinum group elements by solvent impregnated resins technique[J]. Precious Metals, 2001, 22(4): 49-53.
- [5] 唐杰, 张辉, 张凯, 等. 离子交换分离富集极谱法连续测定金、铂、铱和铑[J]. 分析化学, 2004, 32(4): 553-553. Tang J, Zhang H, Zhang K, et al. Simultaneous determination of Au, Pt, Ir and Rh by polarography after separation and preconcentration by ion exchange resin[J]. Chinese Journal of Analytical Chemistry, 2004, 32(4): 553-553.
- [6] 陈景, 张永柱. 铑铱分离方法与原理[J]. 贵金属, 1994, 15(4): 1-6.

  Chen J, Zhang Y. The method and principle for separation of rhodium and iridium[J]. Precious Metals, 1994, 15(4): 1-6.
- [7] 赵德鹏, 杨瑞四, 邹安琴, 等. 201×7 阴离子交换树脂 对低浓度铂的吸附性能[J]. 贵金属, 2014, 35(2): 43-49. Zhao D, Yang R, Zou A, et al. Adsorption of low concentration platinum from chloride leaching solution with 201×7 ion-exchange resin[J]. Precious Metals, 2014, 35(2): 43-49.
- [8] Sobczak I, Ziolek M, Nowacka M. Preparation and characterisation of Pt containing NbMCM-41 mesoporous molecular sieves addressed to catalytic NO reduction by hydrocarbons[J]. Microporous and Mesoporous Materials, 2005, 78(2): 103-116.
- [9] Shih C C, Chang J R. Genesis and growth of platinum subnano-particles on activated-carbon characterized by X-ray absorption spectroscopy: effects of preparation conditions[J]. Materials Chemistry and Physics, 2005, 92(1): 89-97.
- [10] Fontana M, Caseri W R, Smith P, et al. Ultrahigh chiral anisotropy factors in quasi-one-dimensional platinum compounds[J]. Inorganica Chimica Acta, 2003, 353: 320-324.
- [11] Chen X, Chen J, Pan Z, et al. Novel synthesis and

- characterization of [Pt(NH<sub>3</sub>)<sub>4</sub>](NO<sub>3</sub>)<sub>2</sub>[J]. Asian Journal of Chemistry, 2010, 22(8): 6493-6496.
- [12] 国家药典委员会. 中华人民共和国药典[M]. 北京: 化学工业出版社, 2000.
- [13] 刘洋, 余尧, 高文桂, 等. 顺式-二(硫氰酸根)·二氨合铂 (II)的合成、表征及其水溶液析出物质机制的探讨[J]. 无机化学学报, 2006, 22(11): 2090-2096.

  Liu Y, Yu Y, Gao W, et al. Synthesis and characterization of cis-diaminedithiocyanatoplatinum(ii) and study on mechanism of a precipitation from the aqueous solution [J]. Chinese Journal of Inorganic Chemistry, 2006, 22(11): 2090-2096.
- [14] 金娅秋,朱利亚,沈善问,等. GB/T 23276-2009 钯化合物分析方法 钯量的测定 二甲基乙二醛肟析出EDTA 络合滴定法[S]. 北京:中国标准出版社,2009.
- [15] Boyd G E, Adamson A W, Myers Jr L S. The exchange adsorption of ions from aqueous solutions by organic zeolites. II. Kinetics1[J]. Journal of the American Chemical Society, 1947, 69(11): 2836-2848.
- [16] 甄捷. Boyd 方程与液膜扩散机理的关系[J]. 哈尔滨理工大学学报, 1999, 4(4): 108-110.
- [17] 张拿慧. 201×7 强碱性阴离子交换树脂吸附浓海水中 溴的应用基础研究[D]. 杭州: 浙江工业大学, 2009.
- [18] Zhang H H, Gong M C, Guo J X, et al. Preparation of an advanced automotive exhaust catalyst[J]. Catalyst, 2004, 25(2): 85-86.
- [19] 谌喜珠,谢明进,叶青松,等. 顺铂水溶液降解产物-羟 桥双核铂(II)化合物的制备和结构[J]. 云南大学学报: 自然科学版, 2009, 31(4): 389-392.
  - Chen X, Xie M, Ye Q, et al. Preparation and characterization of the hydroxy-bridged dimeric-platinum compound[J]. Journal of Yunnan University: Natural Sciences Edition, 2009, 31(4): 389-392.
- [20] 刘伟平,杨懿焜. 卡铂水溶液的光催化产物[J]. 药学学报, 1996, 31(1): 72-74.
  - Lui W, Yang Yi. The photolytical products of aqueous carboplatin solution[J]. Acts Pharmaceutica sinica, 1996, 31(1): 72-74.